

УДК 553.98.061.4

ВИДІЛЕННЯ ПОРІД-КОЛЕКТОРІВ ПІДВИЩЕНОЇ ЕЛЕКТРОПРОВІДНОСТІ ЗА ДАНИМИ ГДС (на прикладі неогенових відкладів Гуцулівського газового родовища)

О.М. Трубенко, С.Д. Федоринин, В.В. Федорів

*ІФНТУНГ, 76019, м. Івано-Франківськ, вул. Карпатська, 15, тел. (03422) 40155,
e-mail: geotom@nunig.edu.ua*

Розглядається проблема виділення порід-колекторів підвищеної електропровідності за даними геофізичних досліджень свердловин (ГДС). Наведено фактичні результати визначення гранулометричного складу порід, виконано комплексну інтерпретацію даних ГДС складнопобудованих баденських відкладів на прикладі св. 1-Гуцулівська. Встановлено критерії, що впливають на покази електрических методів у процесі обробки та інтерпретації результатів свердловинних геофізичних досліджень складнопобудованих порід-колекторів.

Ключові слова: колектор, мінеральний склад, пісковик, глина, породи-покришки, структура порового простору

Рассматривается проблема выделения пород-коллекторов повышенной электропроводимости по данным геофизических исследований скважин (ГИС). Приведены фактические результаты определения гранулометрического состава пород, выполнена комплексная интерпретация данных ГИС складнопостроенных баденских отложений на примере скв. 1-Гуцульская. Установлены критерии, влияющие на показания электрических методов в процессе обработки и интерпретации результатов скважинных геофизических исследований складнопостроенных пород-коллекторов.

Ключевые слова: коллектор, минеральный склад, песчаник, глина, породы-покрышки, структура порового пространства

The article deals with the selection of reservoir rocks of increased electric conductivity according to the well logging data. Given are the factual results of determining the granulometric composition of rocks. Complex interpretation of well logging data of baden deposits of complex structure on the example of Hutsulivsk Well № 1 has been carried out. Determined were the criteria influencing the data of electrical methods in the process of processing and interpretation of the reservoir rocks of complex structure well logging data.

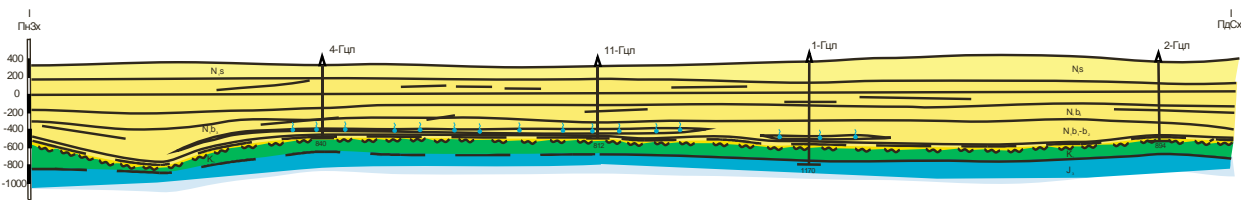
Keywords: reservoir rock, mineral composition, sandstone, clay, caprocks, porous space structure

Вивчення причин та чинників, які обумовлюють неадекватну насиченню електричну характеристику продуктивних порід колекторів, попередня оцінка їх характеру насичення та встановлення положення міжфлюїдальних контактів за даними геологічно-геофізичних досліджень свердловин є актуальним і необхідним завданням.

Значна частина невилучених вуглеводнів на газових родовищах пов'язана з породами складної будови, які ускладнюють виділення їх у геологічних розрізах. Найчастіше з такою проблемою стикаються при інтерпретації результатів геофізичних досліджень тонкошаруватих неогенових розрізів газових і газоконденсатних родовищ карпатської нафтогазоносної провінції. Як свідчить практика геологопошукових робіт, значні скupчення вуглеводнів приурочені до порід із складною мінералогічною будовою матриці та наявністю в них різних типів пористості (гранулярна, кавернозна, тріщинувата). Вивчення таких порід-колекторів геофізичними методами досліджень свердловин в окремих випадках утруднюється. Зокрема, це стосується інтерпретації показів електрических методів, які не відповідають дійсним електричним параметрам пластів, що вивчаються. Встановлення впливу складу матриці породи, типу

насичуючого флюїду, зв'язаної води та інших чинників на величину електропровідності породи-колектора дають змогу підвищити ефективність електрических досліджень. Підвищення інформативності результатів комплексних геофізичних досліджень складнопобудованих порід-колекторів буде сприяти виявленню додаткових об'єктів скupчення вуглеводнів, що дасть змогу приоцінювати їх запаси.

Ряд вчених Дахнов В.Н., Д'яконов Д.І., Леонтьєв Е.І., Кузнецов Г.С., Латишова М.Г., Вендельштейн Б.Ю., Тузов В.П. [1, 2, 3] займались вивченням цієї проблеми і стали основоположниками методик та способів обробки і інтерпретації даних ГДС. Однак, у свій час ці роботи не отримали дієвого розвитку в силу недостатнього апаратурного забезпечення свердловинних та лабораторних досліджень. Зокрема, це стосується радіоактивних та електрических методів. Виходячи із того, що в різних регіонах України основні поклади нафти і газу приурочені до пластів кварцевих і польовошпатових пісковиків, алевролітів, вапняків, які зцементовані глинистими, карбонатними, галітовими та змішаними цементами, комплекси геофізичних досліджень повинні бути цілеспрямовано оптимальними. З метою удосконалення інтерпретаційної обробки даних електри-



УМОВНІ ПОЗНАЧЕННЯ

[Symbol: Up arrow with 7] - свердловини	[Symbol: Yellow box with Ns] - сарматський ярус	[Symbol: Green box with K] - верхня крейда
[Symbol: Diagonal lines] - границі стратиграфічного залягання горизонтів	[Symbol: Yellow box with Nbs] - верхньобаденський підярус	[Symbol: Blue box with J] - верхня юра
[Symbol: Blue dots] - газові поклади	[Symbol: Yellow box with Nb] - нижньо- та середньобаденський підярус	

Рисунок 1 – Гуцулівське газове родовище. Геологічний розріз по лінії І-І (за Раделицьким В.С. [1], 2010)

чних досліджень складнопобудованих порід-колек-торів авторами нижче наводяться ізоре-зистивна методика обробки даних електрометрії з врахуванням встановлених чинників на прикладі неогенових відкладів Гуцулівського газового родовища.

Гуцулівське газове родовище підпорядковується в адміністративному відношенні Коломийському та Косівському районам Івано-Франківської області, в тектонічному перебуває в межах Івано-Франківської південної Зовнішньої зони Передкарпатського прогину.

У будові родовища беруть участь породи палеозойської, мезозойської та кайнозойської еротем (рис. 1).

Поклад продуктивного горизонту Б-1 розкритий свердловиною 1-Гпл в інтервалі 850,8-875,6 м. Він приурочений до південно-західного схилу складнопобудованої структури, пов'язаної з донеогеновим ерозійним палеопідняттям, зокрема до локального малоамплітудного врізу, який розділяє Гуцулівський виступ на дві частини: північно-західну і південно-східну.

Аналіз та узагальнення геолого-геофізичної інформації досліджень свердловин Гуцулівського родовища дав змогу встановити, що поклад газу продуктивного горизонту Б-2 приурочений до антиклінальної складки субкарпатського простягання розмірами 4x2 км і висотою 50 метрів. З північного заходу він літологічно обмежений в межах осьової лінії складки, що підтверджується відсутністю колекторів у свердловині 6-Пилипівська та значним падінням ефективної товщини у свердловинах 4-Гуцулівська і 19-Коршів-Іспас. Подібним чином поклад літологічно обмежується з південного сходу, де у свердловинах 1-, 2-, 8-Гуцулівські породи-колектори повністю заміщаються непроникними глинистими різновидами (рис. 2).

Як об'єкт нафтогазоносності в межах Гуцулівського родовища випробуваний майже весь розкритий стратиграфічний розріз, за винятком сарматських відкладів.

Юрські відклади (1115-1170 м св. 1-Гпл) літологічно представлені вапняками: щільними, середньої міцності і міцними, кавернозними і

тріщинуватими. За даними лабораторного аналізу пористість вапняків змінюється від 6,5 до 15,7%, а проникність – від $27 \cdot 10^{-3}$ мкм² до $< 0,001 \cdot 10^{-3}$ мкм².

Інтервали 1122-1128 м і 1131-1134 за даними ГДС водонасичені, що і підтверджено випробуванням в процесі буріння (з інтервалу 1115-1170 м отримано приплів пластової води дебітом 2 м³/25 хв.).

Крейдові відклади розкриті свердловиною 1-Гпл. Вони представлена пісковиками сеноманського ярусу (1065-1105 м) і вапняками турун-сантонаського віку (938-1065 м).

Пісковики місцями слабкозцементовані (майже піски), пористі. За даними ГДС пористість пісковиків складає 7-28%, а за лабораторними визначеннями – 19,7-36,2%. Величина проникності коливається від $132 \cdot 10^{-3}$ мкг² до $253 \cdot 10^{-3}$ мкм².

Вапняки щільні, середньої міцності до міцних. За даними ГДС пористість змінюється від 0 до 7%. Проведене лабораторне визначення вапняків з інтервалу 939-945 м (пористість – 3,8%, проникність – менше $0,001 \cdot 10^{-3}$ мкм²).

Крейдові відклади – водонасичені. Так, при випробуванні в процесі буріння інтервалу 927-972 м, де за даними ГДС вапняки – неколектори, флюїду не отримано. А при випробуванні ВПТ інтервалу 1051-1085 м спостерігався приплів пластової води дебітом 5,5 м³/70 хв.

Баденські відклади на Гуцулівському родовищі представлені мергелями баранівських верств, гіпсоангідритами тиравської і піщаноглинистою товщою косівської світі.

Мергелі мають на родовищі невелику потужність (від 1,5 до 10 м) і характеризуються погіршеними колекторськими властивостями. Так, у свердловині 1-Гпл пористість складає 3,8-5,4%, а проникність – менше $1 \cdot 10^{-3}$ мкм².

Тиравська світа представлена щільними гіпсоангідритами ($\rho_{\text{н}}^{\text{бк3}} = 80-500$ омм). За даними лабораторного аналізу відкрита пористість дорівнює 0,7-1,2%.

При випробуванні в процесі буріння інтервалів: 927-972 м у свердловині 1-Гпл ($n_1 b_1 + k_2$); 878-910 м у свердловині 8-Гпл ($n_1 b_{1+2} + k_2$); 815-840 м в свердловині 4-Гпл ($n_1 b_{1+2} + k_2$) приплів не було отримано. Це підтверджує, що

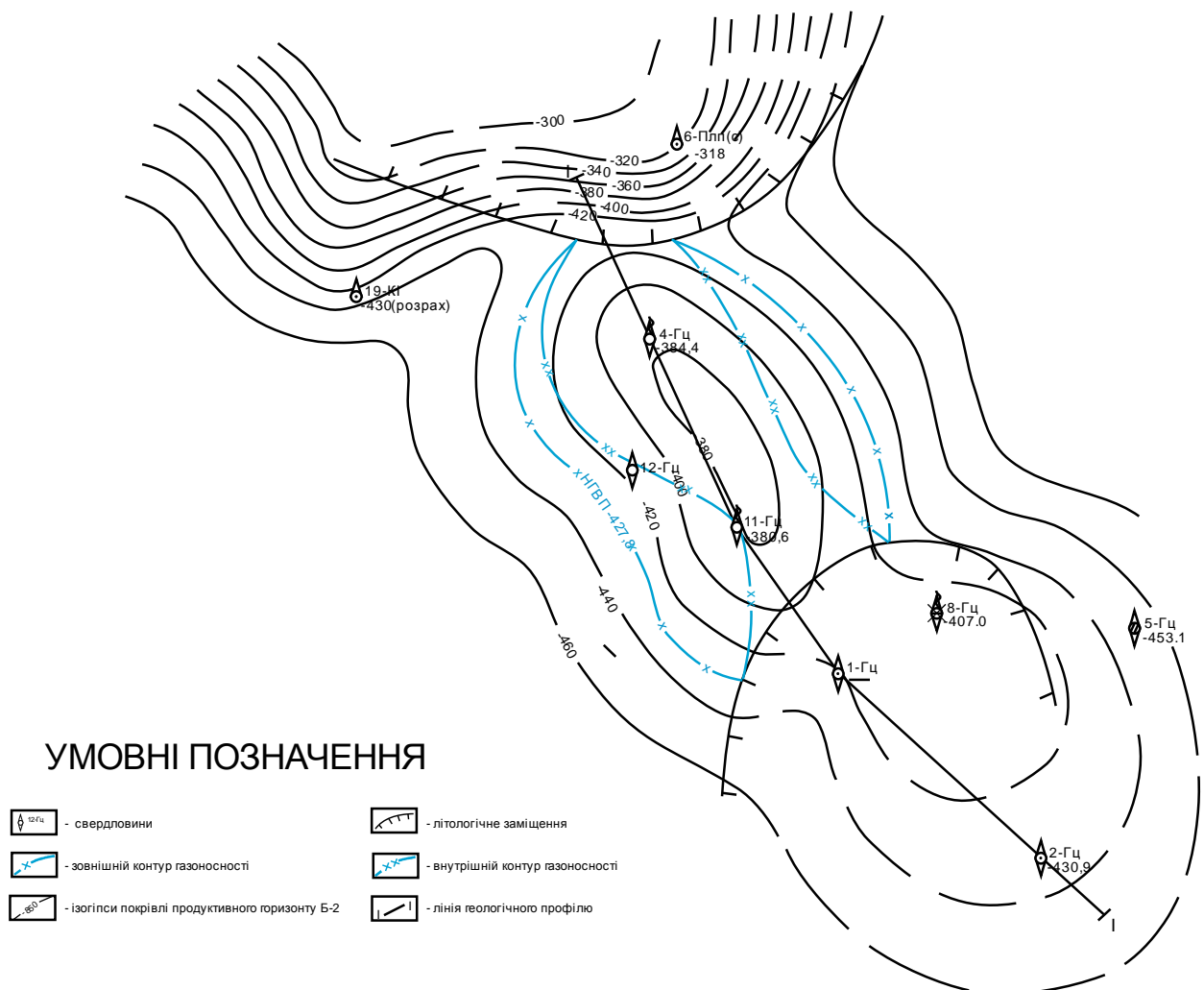


Рисунок 2 – Гуцулівське газове родовище. Структурна карта покрівлі продуктивного горизонту Б-2 (за Раделицьким В.С. [1], 2010)

середньо-баденські відклади і верхня частина крейдових відкладів представлені водотривкими породами.

Промислова газоносність Гуцулівського родовища пов'язується з нижньою частиною верньобаденської теригенної товщі, де відкрито два поклади газу, приурочені до піщано-алевролітових горизонтів Б-1 і Б-2. В середній частині верньобаденської товщі кондиційні колектори водонасичені, а верхня частина представлена глинами і аргілітами.

Продуктивний горизонт Б-1 відкритий свердловиною 1-Гцл, в якій з інтервалу 878-851 м отримано приплив газу дебітом 31,97 тис. м³/добу на 8,2 мм штуцері. Відклади горизонту представлені пісково-алевролітистими різновидами з питомим електричним опором 4,5-4,0 Ом·м, пористістю – 15-18%, газонасиченістю – 58-68%. На жаль, керн з продуктивного горизонту не був піднятий, тому колекторські властивості характеризовані лише за результатами промислово-геофізичних досліджень. В інших свердловинах, пробурених в межах Гуцулівського родовища, колекторські властивості значно погіршуються. До склепіння структури він повністю заміщується малопотужними глинистими різновидами.

Продуктивний горизонт Б-2 відкритий свердловиною 11-Гцл, в якій з інтервалу 711-702 м отримано дебіт газу 145,47 тис. м³/добу на 15,33 мм штуцері. Крім того, другий поклад частково розвіданий свердловиною 4-Гцл, яка пробурена на його північно-західній окраїні в зоні заміщення порід-колекторів слабкопроникними (в основному, алевролітовими) різновидами.

Роль покришок відіграють глини та аргіліти. Глини зеленувато-сірі, темно-сірі із слабким зеленуватим відтінком, щільні, середньої міцності, тонкослюдисті і слюдисті, вапністі, з присипками по площинах нашарування і гніздами піску світло-сірого, дрібнозернистого, слюдистого, вапністого.

Аргіліти темно-сірі зі слабким зеленуватим відтінком, щільні, середньої міцності, слюдисті, невапністі і слабковапністі.

Фізичні властивості порід-колекторів у межах покладів на родовищі лабораторними методами не вивчалися, оскільки зразки керну з продуктивних об'єктів не відбиралися.

Відомості про визначення петрофізичних параметрів для теригенних порід всього верньобаденського комплексу в межах Гуцулівського родовища зведені до таблиці 1.

Таблиця 1 – Результати визначення петрофізичних параметрів порід-колекторів баденських відкладів (Б-1,2) Гуцульського родовища

№ з/п	№ св.	Інтервал, м		Хара- ктери- стика породи	Лонгітудні відрізки % для вимірюван- ня	Лапажев (II), 10^{-3}Мкм^2	Лапажев (II), 10^{-3}Мкм^2	Капіючість, % непроникн.	Проника- льність газу, J/cm^3	Електричний опір, Омм	Геофізичні харак- теристики породи	Примітка
		від	до									
1	2	593.0	598.0	пісковик	В.баден	10.30	1.10	II	5.90	2.37	3.3	0.0495
2	2	593.0	598.0	пісковик	В.баден	9.80	< 0.01	II	7.80	2.38	3.2	0.0495
3	2	593.0	598.0	пісковик	В.баден	9.60	0.19	II	8.60	2.39	2.0	0.0495
4	2	593.0	598.0	пісковик	В.баден	10.30	0.03	II	8.30	2.37	1.9	0.0495
5	2	593.0	598.0	пісковик	В.баден	11.20	0.05	II	7.70	2.36	5.4	0.0495
6	2	593.0	598.0	пісковик	В.баден	10.80	0.02	II	7.50	2.36	2.3	0.0495
7	2	593.0	598.0	пісковик	В.баден	10.90	< 0.01	II	7.90	2.36	1.5	0.0495
8	5	701.0	706.0	пісковик	В.баден	11.80	< 0.01	II	6.8	2.26	2.9	0.0495
9	8	770.0	772.0	пісковик валнистий	В.баден	12.00	5.93	II	10.20	2.34	2.5	0.0495
10	8	840.0	845.0	пісковик валнистий	В.баден	10.10	0.67	II	10.50	2.40	3.7	0.0495
11	8	858.0	863.0	пісковик валнистий	В.баден	18.10	< 0.01	II	10.50	2.19	3.4	0.0495
12	5	701,0	706,0	пісковик	В.баден	11.80	< 0.01	II	6.8	2.26	2.9	0.0495

Таблиця 2 – Результати комплексної інтерпретації даних електрометрії свердловин складнопобудованих баденських відкладів у св. 1-Гуцульська

Homoplnjactra M	Інтервал пласта, м	Плитомий опір, Омм			K _{heftronaenreihen}	Характеристика колектора	Характер насичення
		БКЗ	БК	ІК			
1	209,2-211,6	2,4	0,3	3	16	18	10
2	215,6-218,4	2,8	0,3	3	14	16	12
3	231,2-236,8	5,6	0,3	3	26	28	16
4	236,8-243,6	6,8	0,3	3	12	15	8
5	301,6-308,8	7,2	0,3	3,5	8	9	7
6	557,2-558,8	1,6	0,3	3,5	14	8	20
7	572,4-578,4	6,0	0,3	3,5	13	8	15
8	603,0-608,0	5,0	0,3	3,5	12	18	16
9	608,0-611,4	3,4	0,3	3,5	18	20	14
10	770,8-772,8	2,0	0,3	3,5	6	7	6,2
11	801,0-807,0	6,0	0,3	3,5	5,5	6	6,2
12	850,4-858,4	8,0	0,3	3,5	10,5	5,3	6,5
13	858,4-875,6	17,2	0,3	3,5	11,3	4,5	6
14	876,0-888,0	12,0	0,3	3,5	10,2	3,6	6
15	914,4-917,0	2,6	0,2	0,2	50	60	43
16	917,0-919,2	2,2	0,2	0,2	150	1000	43
17	920,0-922,4	2,4	0,2	0,2	80	400	100
18	922,4-926,0	3,6	0,2	0,2	50	140	43
19	926,0-928,8	2,8	0,2	0,2	180	1000	100
20	928,8-937,0	8,2	0,19	0,2	22	20	16
21	937,6-943,6	6,0	0,19	0,2	28	30	27
22	943,6-954,0	10,4	0,19	0,2	20	23	20
23	954,0-963,0	9,0	0,19	0,2	60	87	43
24	963,0-977,0	14,0	0,19	0,2	25	29	20
25	977,0-989,0	12,0	0,19	0,2	14	17	11
26	989,0-1000,0	11,0	0,19	0,2	18	22	14
27	1000,0-1005,0	5,0	0,19	0,2	12	16	10

Таблиця 3 – Результати інтерпретації даних геофізичних досліджень у свердловині 1-Гуцулівська

Інтервал пласта, м		Перший вимір			Другий вимір		
покрівля	підошва	$P_{\text{пп}}$, Омм	D/d	$P_{\text{зп}}$, Омм	$P_{\text{пп}}$, Омм	D/d	$P_{\text{зп}}$, Омм
850	858,2	6,2	2,5	12,8	6,1	7	10,9
858,2	863,7	4,7	3,4	10,5	4,7	6	12,2
863,7	866,8	4,6	3,0	10,5	4,4	5,3	11,8
866,8	874,8	4,9	3,4	10,0	4,6	7,1	10,7

Сарматські відклади в свердловинах 1-, 2-, 8-Гцл за даними промислового-геофізичних досліджень – обводнені. Тільки у свердловині 4-Гцл в інтервалі 94,2-116,8 за даними ГДС визначено газонасичені пласти, які, однак, на газоносність не випробовувались.

У результаті експериментальних досліджень встановлено, що геофізична характеристика складнопобудованих порід-колекторів неогенових відкладів визначається низкою чинників, без врахування яких виділення продуктивних пластів є трудомісткою, а в окремих випадках і нерозв'язною геологічною задачею. Електрометричні методи, які входять до типового комплексу ГДС, мають свої обмеження при реєстрації значень питомого електричного опору, зокрема недостатню роздільність та неоднозначність оцінки характеру насичення при дослідженні складнопобудованих порід-колекторів. Форма кривих самочинних потенціалів (ПС) слабкодиференційована, погано ув'язується з кривими інших методів. Низька інформативність методу ПС пояснюється літологочною будовою геологічного розрізу та однаковою мінералізацією пластової води і промивальної рідини. Така форма зареєстрованої інформації не дозволяє використати її для кількісної інтерпретації.

Інтегральна радіоактивність на кривій гамма-каротажу змінюється в межах від 8 мкР/год до 9 мкР/год, що відповідає подвійному різницевому параметру $\delta_i=0,20$, характерному для мономінеральних пісковиків.

Крива нейтронного гамма-каротажу (НГК) також слабкодиференційована за рахунок впливу на канал НГК фону інтенсивності природної радіоактивності.

Інформативність кривих мікроградієнтів та мікропотенціалів зондів, а також мікробокового каротажу низька внаслідок впливу значної товщини глинистої кірки. За даними БКЗ, БК, ІК вказані пласти як продуктивні породи-колектори не виділяються. Для такого типу порід нами проведено ізозезистивну методику обробки даних електрометрії з врахуванням встановлених чинників, які впливають на геофізичні параметри. Обробка даних показана на прикладі свердловини 1-Гуцулівська (табл. 2). Розрахунки та побудова фактичної кривої БКЗ проводились за методикою повторних вимірювань. За результатами першого вимірювання встановлено, що крива зондування є тришаровою, що вказує на підвищувальне проникнення.

Геоелектричні параметри при цьому становили:

- опір пласта $\rho_{\text{пп}}$ змінювався в межах 5,3-6,1 Ом·м;
- відношення діаметра зони проникнення (ЗП) до діаметра свердловини D/d складає 2,5-3,4;
- опір ЗП ($\rho_{\text{зп}}$) змінюється в межах 10,0-12,8 Ом·м;
- подвійний різничний параметр δ_i змінюється в межах 0,20-0,27.

Другий вимір, який здійснювався через 25 діб, показав, що геоелектричні дані в інтервалах досліджень змінилися (табл. 3).

Однак електричний опір незмінної частини пласта $\rho_{\text{пп}}$ не змінився, в той час $\rho_{\text{зп}}$ змінилося разом із зміною відношення D/d, що свідчить про зростання радіуса зони проникнення в процесі її формування.

Виділений пласт у інтервалі 850-858,2 м характеризується підвищеним значенням електричного опору. За даними гамма-спектрометрії та гамма-каротажу цей пласт характеризується незначною глинистістю. У нижніх пластих кількість глинистого матеріалу зростає, електричний опір пласта зменшується і стає врівень опору вміщуючих порід. У матриці породи присутні мінерали, до складу яких входить калій та алюміній (алюмосилікати натрію, калію, польові шпати, глауконіт).

Результати експериментальних досліджень дозволили встановити, що наявність вище вказаних мінералів є основним чинником низькомінності продуктивних порід. Це підтверджено роботами таких вчених Н.І. Hill, J.D. Milburn, H.W. Patnode (1956 р.), де обґрунтовано залежність електричних параметрів порід від ємкості катіонного обміну та вмісту мінералів класу алюмосилікатів. Зростання останнього чинника призводить до зниження питомого електричного опору. На рисунках 3, 4 показано геоелектричні розрізи у свердловині 1-Гуцулівська, де видно співвідношення електричних опорів вміщуючих порід і продуктивного колектора. Виділені інтервали (850,4-858,4) м та (858,4-875,6) м є газонасиченими, а коефіцієнт їх складає відповідно $\kappa_e=64$, $\kappa_e=52$.

Апробація встановлених критеріїв, які впливають на покази електричних методів, в процесі обробки та інтерпретації результатів свердловинних геофізичних досліджень складнопобудованих порід-колекторів дозволила встановити, що продуктивні низькомінні породи-колектори, які представлені поліміктовими

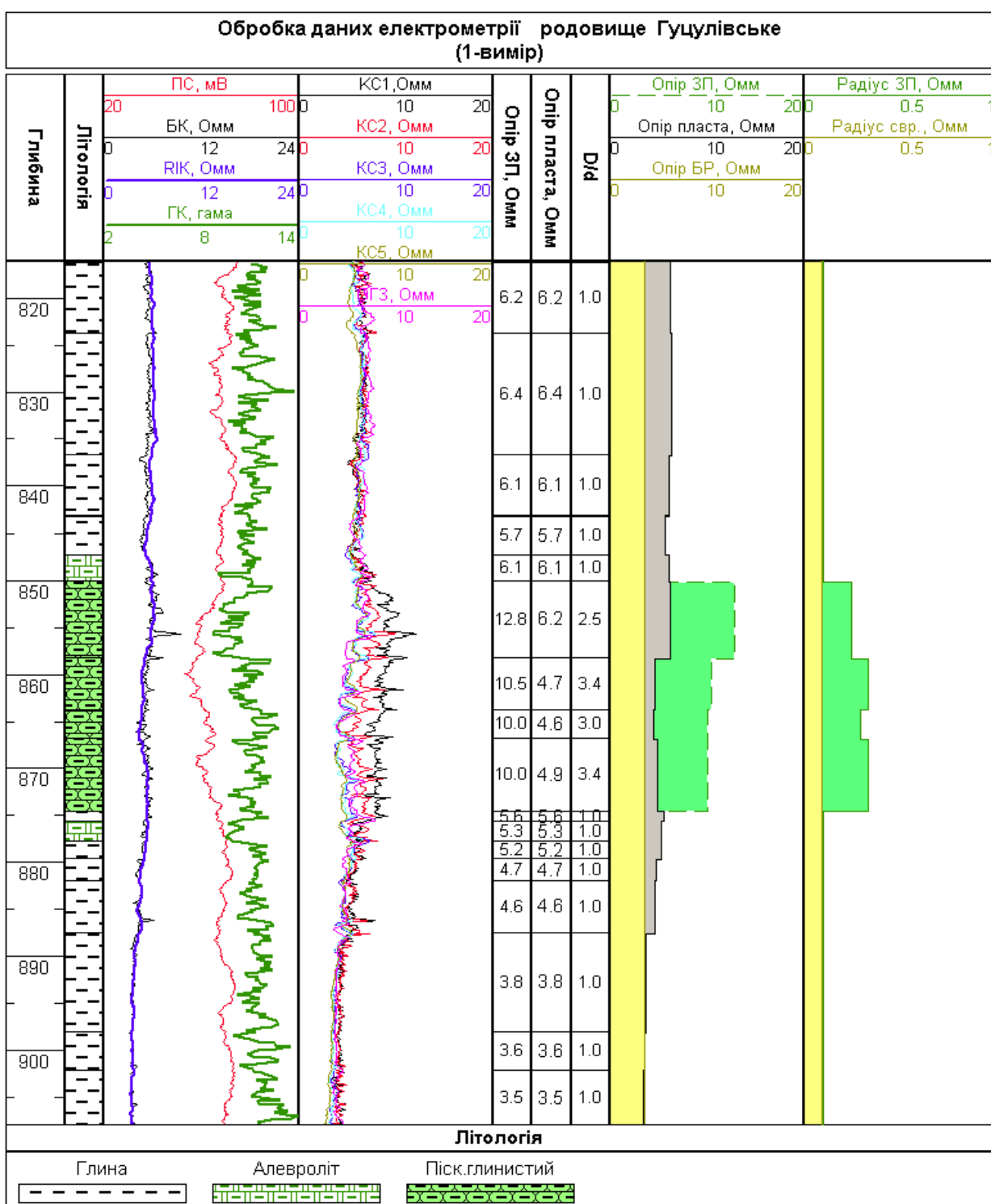


Рисунок 3 – Комплексна геофізична характеристика міоценових відкладів Гуцулівського газового родовища (перший вимір)

пісковиками, характеризуються властивим тільки для них розподілом радіоактивних ізотопів урану, торію та калію-40, а також їх співвідношенням та вмістом глинистого матеріалу.

Для більш обґрутованого висновку про причини низькоомності продуктивних газоносних порід-колекторів необхідно провести комплексні петрофізичні дослідження та виконати серію свердловинних вимірювань впливу промивальної рідини на питомий опір.

Література

- 1 Дахнов В.Н. Геофизические методы определения коллекторских свойств и нефтенасыщенности пород / В.Н. Дахнов. – М.: Недра, 1985. – 310 с.

2 Дьяконов Д.И. Общий курс геофизических исследований скважин: учебник для вузов; изд-во 2-е перероб. / Д.И. Дьяконов, Е.И. Леонтьев, Г.С. Кузнецов. – М.: Недра, 1984. – 432 с.

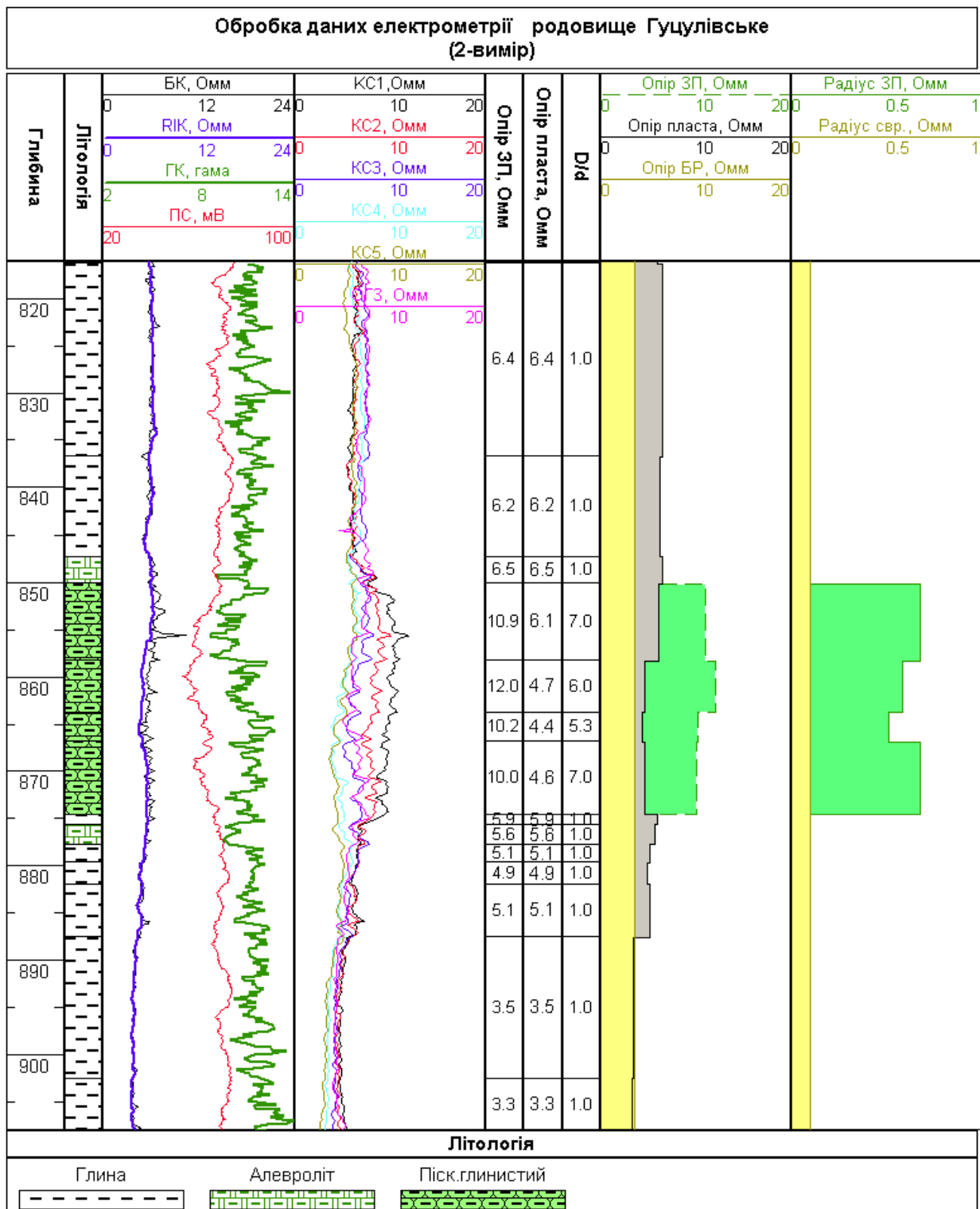


Рисунок 4 – Комплексна геофізична характеристика міоценових відкладів Гуцулівського газового родовища (другий вимір)

З Латышова М.Г. Обработка и интерпретация материалов геофизических исследований скважин / М.Г.Латышова, Б.Ю.Вендельштейн, В.П.Тузов. – М.: Недра, 1990. – 312 с.

та ін. – Львів: ДП "Західукргеологія", 2010. – 214 с., 62 табл., 28 рис., 58 посилань.

4 Андрейчук М.М. Геолого-економічна оцінка Гуцульського газового родовища в Івано-Франківській області (станом на 01.01.2010 року): звіт (3 книги, 1 папка) / Андрейчук М.М.

*Стаття надійшла до редакційної колегії
30.08.11*